

## บทที่ 4

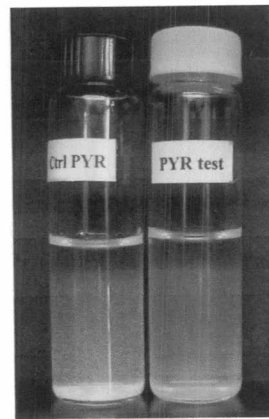
### ผลการทดลอง

#### 4.1. การแยกแบคทีเรียที่มีสมบัติในการเกาะติดและย่อยสลายไพรินจากปุ๋ยหมักใบพืช ตระกูลถั่ว โดยอาศัยวัสดุดูดซับ PTFE

จากการศึกษาประสิทธิภาพในการดูดซับไพรินบนแผ่น PTFE โดยเคลือบไพรินความเข้มข้น 2 มิลลิกรัม ลงบนแผ่น PTFE หลังจากเขย่าทิ้งไว้ในน้ำเป็นเวลา 7 วัน เมื่อนำแผ่น PTFE และส่วนที่เป็นน้ำมาสกัดพบว่า สามารถสกัดไพรินที่อยู่บนแผ่น PTFE ได้ได้ถึง 1.93 มิลลิกรัมและส่วนไพรินที่ละลายน้ำได้มีปริมาณน้อยมาก (0.021 มิลลิกรัม) ซึ่งปริมาณไพรินส่วนที่หายไปนั้นอาจจะไม่ถูกสกัดออกมากจากแผ่น PTFE จากการศึกษานี้ทำให้สามารถยืนยันได้ว่า ไพรินสามารถดูดซับอยู่บนแผ่น PTFE ที่มีสมบัติไฮโดรฟิลิก และจะไม่ละลายออกมากจากแผ่น PTFE ซึ่งทำให้แน่ใจได้ว่าแบคทีเรียที่จะแยกจากปุ๋ยหมักใบพืชตระกูลถั่วจะใช้ไพรินที่เคลือบอยู่บนแผ่น PTFE

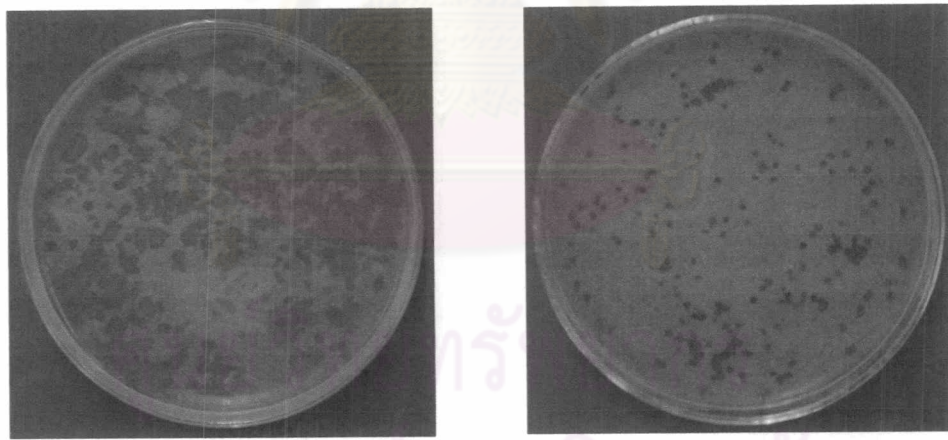
จากการคัดแยกกลุ่มแบคทีเรียโดยใช้แผ่น PTFE ที่เคลือบด้วยไพริน ซึ่งใช้เป็นวัสดุที่ช่วยในการแยกกลุ่มแบคทีเรียที่ต้องการในการศึกษานี้ หลังจากบ่มเชื้อเป็นเวลา 1 เดือน ที่อุณหภูมิห้อง เมื่อนำแผ่น PTFE ที่สังเกตว่ามีการเจริญของแบคทีเรียที่สามารถย่อยสลายไพรินได้มาวางบนอาหารเลี้ยงเชื้อเชิง CFMM ที่เติมไข่โคลอเจนไนเตอร์โดยมีผลึกไพรินวางบนฝาจานอาหารเลี้ยงเชื้อ บ่มเป็นเวลาประมาณ 2-3 สัปดาห์ ที่อุณหภูมิ  $30^{\circ}\text{C}$ . จะสังเกตเห็นโคลนที่เจริญบนแผ่น PTFE หรือบริเวณรอบๆ เชื้อโคลนทั้งหมดลงในอาหารเลี้ยงเชื้อเหลว CFMM ที่มีไพรินหลังจากถ่ายเชื้อหลายครั้ง จะสังเกตเห็นว่าเมื่อมีการเจริญของแบคทีเรียจะทำให้ผลึกสีขาวที่แขวนลอยอยู่ในอาหารเลี้ยงเชื้อ CFMM เปลี่ยนเป็นสีน้ำตาลอ่อนและไม่มีผลึกของไพรินทำให้อาหารเลี้ยงเชื้อใส่ขึ้นเมื่อเปรียบเทียบกับชุดทดลอง รูปที่ 4.1

จุฬาลงกรณ์มหาวิทยาลัย



รูปที่ 4.1 ลักษณะอาหารเลี้ยงเชื้อเหลว CFMM เมื่อมีการย่อยสลายไพรินโดยกลุ่มแบคทีเรีย (PYR test) เปรียบเทียบกับชุดควบคุม (Ctrl PYR)

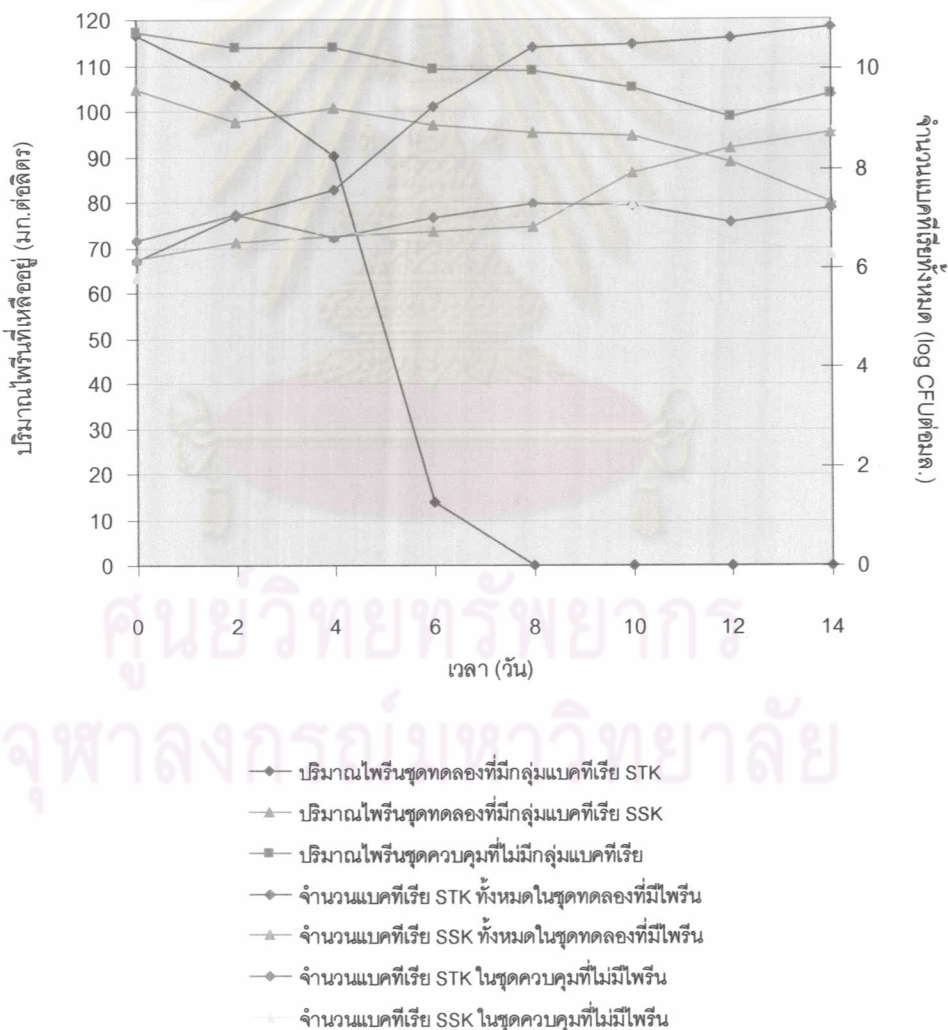
จากการแยกกลุ่มแบคทีเรียที่ได้จากปุ๋ยหมักใบไม้หัง 3 ชนิด โดยการสังเกตวงใส่รอบโคลนีบนอาหารแข็ง CFMM พบว่ามีการเจริญของกลุ่มแบคทีเรียที่สามารถย่อยสลายไพรินได้จากปุ๋ยหมักใบมะขาม (STK) และปุ๋ยหมักใบจามจุรี (SSK) (รูปที่ 4.2) แต่ไม่พบกลุ่มจุลินทรีย์ที่ใช้ไพรินเป็นแหล่งคาร์บอนและแหล่งพลังงานจากปุ๋ยหมักใบเน่นทรี (ไม่แสดงรูป)



รูปที่ 4.2 ลักษณะวงใส่รอบโคลนีที่เจริญบนอาหารแข็ง CFMM ที่พ่นทับด้วยไพรินที่ได้จากปุ๋ยหมักใบมะขาม (ก.) และใบจามจุรี (ข.)

## 4.2 การเจริญและย่อยสลายไฟรินโดยกลุ่มแบคทีเรียที่แยกได้จากปุ๋ยหมักในมะขาม (STK) และปุ๋ยหมักใบจามจุรี (SSK)

เมื่อนำกลุ่มแบคทีเรีย STK และ SSK ทั้ง 2 กลุ่มที่แยกได้ มาศึกษาประสิทธิภาพการย่อยสลายไฟรินในอาหารเลี้ยงเชื้อเหลว CFMM ที่มีไฟรินความเข้มข้นเริ่มต้น 100 มก.ต่อลิตร โดยตรวจติดตามปริมาณไฟรินที่ลดลงด้วยวิธี HPLC พบว่า กลุ่มแบคทีเรียที่แยกได้จากปุ๋ยหมักในมะขาม (STK) สามารถย่อยสลายไฟรินได้ดีกว่ากลุ่มแบคทีเรียที่ได้จากปุ๋ยหมักใบจามจุรี (SSK) โดยกลุ่มแบคทีเรีย STK ย่อยสลายไฟรินจนถึงระดับที่ไม่สามารถตรวจวัดได้ ภายในระยะเวลา 8 วัน ซึ่งมีอัตราเร็วในการย่อยสลายไฟรินคิดเป็น 26.26 มก.ต่อลิตรต่อวันและทำให้อาหารเลี้ยงเชื้อมีสีน้ำตาลอ่อนและไม่พบร่องไฟริน ในขณะที่กลุ่มแบคทีเรีย SSK ย่อยสลายไฟรินใน 14 วันได้เพียง 20.08 มก.ต่อลิตร เท่านั้น (รูปที่ 4.3) ดังนั้นผู้วิจัยจึงนำกลุ่มแบคทีเรีย STK ดังกล่าวมาทำการศึกษาในลำดับต่อไป



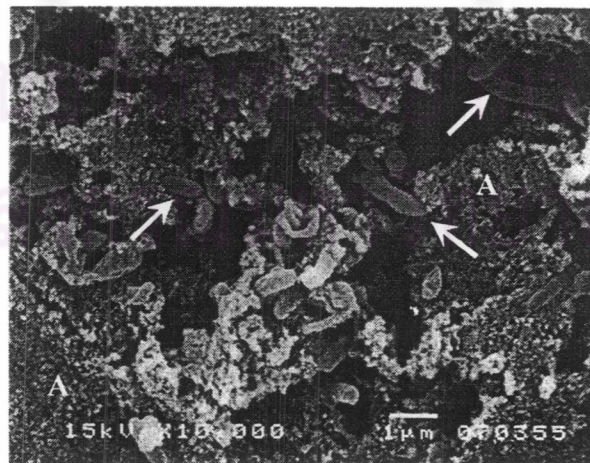
รูปที่ 4.3 การเจริญและปริมาณไฟรินที่เหลือจากการย่อยสลายโดยกลุ่มแบคทีเรีย STK ที่แยกได้จากปุ๋ยหมักในมะขามเปรี้ยบเทียบกับกลุ่มแบคทีเรีย SSK ที่แยกได้จากปุ๋ยหมักใบจามจุรี

จากรูปที่ 4.3 จะเห็นได้ว่า การย่อยสลายไพรินจะเกิดขึ้นอย่างสมบูรณ์ภายในเวลา 8 วัน โดยในช่วง 4 วันแรกของการทดลองปริมาณไพรินที่เหลืออยู่มีการเปลี่ยนแปลงเพียงเล็กน้อยและ แบคทีเรียอยู่ในระยะปรับตัว (lag phase) ซึ่งจำนวนแบคทีเรียเพิ่มขึ้นจาก  $6.16 \log \text{CFU}$  ต่อมล. เป็น  $7.05 \log \text{CFU}$  ต่อมล. ในขณะที่ชุดควบคุมจำนวนแบคทีเรียในอาหารเหลืองเชื้อที่ไม่เติมแอลгин คาร์บอนและพลังงาน พบว่าจำนวนแบคทีเรียเพิ่มขึ้นในช่วงต้นของการทดลอง จากนั้นจึงเข้าสู่ ระยะคงที่และลดลงในช่วงปลายของการทดลอง สำหรับชุดควบคุมปริมาณไพรินนั้น พบว่าเมื่อไม่มีกลุ่มแบคทีเรียปริมาณไพรินลดลงเพียง  $7.56 \text{ mg.} \cdot \text{ต่อลิตร}$

หลังจากวันที่ 4 การย่อยสลายไพรินจะเกิดขึ้นอย่างรวดเร็ว เมื่อเทียบกับที่เวลาเริ่มต้น ปริมาณไพรินลดลงเหลือเพียง  $13.68 \text{ mg.} \cdot \text{ต่อลิตร}$  และไพรินที่เหลือจะถูกย่อยสลายต่อไป จนไม่สามารถตรวจพบไพรินในวันที่ 8 เมื่อพิจารณาการเจริญของกลุ่มแบคทีเรีย STK เห็นได้ว่าการเจริญสอดคล้องกับปริมาณไพรินที่ลดลง กล่าวคือ การเจริญของกลุ่มแบคทีเรีย STK จะเพิ่ม จำนวนอย่างรวดเร็วหลังจากวันที่ 4 ของการทดลอง โดยจำนวนแบคทีเรียเพิ่มจาก  $7.58 \log \text{CFU}$  ต่อมล. ในวันที่ 4 เป็น  $10.45 \log \text{CFU}$  ต่อมล. ในวันที่ 8 หลังจากนั้นจำนวนแบคทีเรียจะเพิ่มขึ้น และค่อยๆ ลดลงจนสิ้นสุดการทดลอง

ในขณะที่กลุ่มแบคทีเรีย SSK มีระยะเวลาในการปรับตัวนานถึง 10 วันและไม่เกิดการย่อยสลายไพริน แต่ช่วงวันที่ 12 ของการทดลองสังเกตเห็นว่ามีการเพิ่มจำนวนของกลุ่มจุลทรรศ์ จาก  $7.81 \log \text{CFU}$  ต่อมล. เป็น  $9.56 \log \text{CFU}$  ต่อมล. ในวันที่ 14 และไพรินถูกย่อยสลายไป  $27.21 \text{ mg.} \cdot \text{ต่อลิตร}$  เท่านั้น

จากรูปที่ 4.4 แสดงให้เห็นว่ากลุ่มแบคทีเรีย STK สามารถใช้ไพรินเป็นแหล่งคาร์บอนและ แหล่งพลังงานและสามารถกระจายตัวอยู่ระหว่างรูพรุนของผลักไพรินได้



รูปที่ 4.4 กลุ่มแบคทีเรีย STK ที่เจริญอยู่บนผลักไพรินจากกล้องจุลทรรศน์อิเล็กตรอนแบบส่องผ่าน (S.E.M.) กำลังขยาย  $10,000$  เท่า (A; ผลักไพริน, ลูกศรชี้; เซลล์แบคทีเรีย)

### 4.3 จำแนกชนิดทางอนุกรรมวิธานของแบคทีเรียทางอนุกรรมวิธานของกลุ่มแบคทีเรีย STK สายพันธุ์บริสุทธิ์

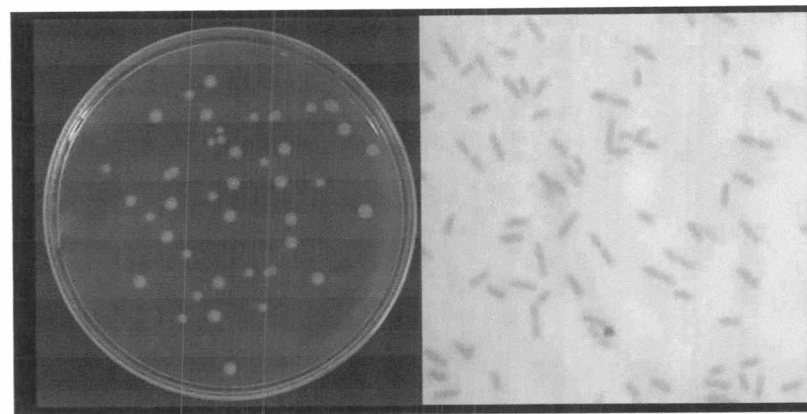
#### 4.3.1 ศึกษาลักษณะทางสัณฐานวิทยา (morphological characteristics)

จากการศึกษาเปรียบเทียบการย่อออยสลายไพรินโดยกลุ่มแบคทีเรีย STK ซึ่งแยกได้จากปัจจัย หมักจากใบมะขามกับกลุ่มแบคทีเรีย SSK ที่แยกได้จากปัจจัยหมักจากใบจามจุรี พบร่วกกลุ่มแบคทีเรีย STK มีประสิทธิภาพในการย่อออยสลายไพรินได้ดีกว่ากลุ่มแบคทีเรีย SSK ผู้วิจัยจึงนำกลุ่มแบคทีเรีย STK ที่ผ่านการถ่ายเข้าในอาหารเหลว CFMM ที่เติมไพรินมาแล้ว 5 ครั้ง มาแยกให้ได้แบคทีเรียบริสุทธิ์ โดยนำมาเจือจางในสารละลายโซเดียมคลอไรด์ 0.85% แล้วเก็บน้ำอาหารแข็ง LB หลังจากการบ่ม 3 วัน พบร่วกกลุ่มแบคทีเรีย STK ประกอบด้วยโคลนีที่แตกต่างกันของแบคทีเรียบริสุทธิ์อย่างน้อย 3 สายพันธุ์ ดังแสดงไว้ในตารางที่ 4.1 และรูปที่ 4.5

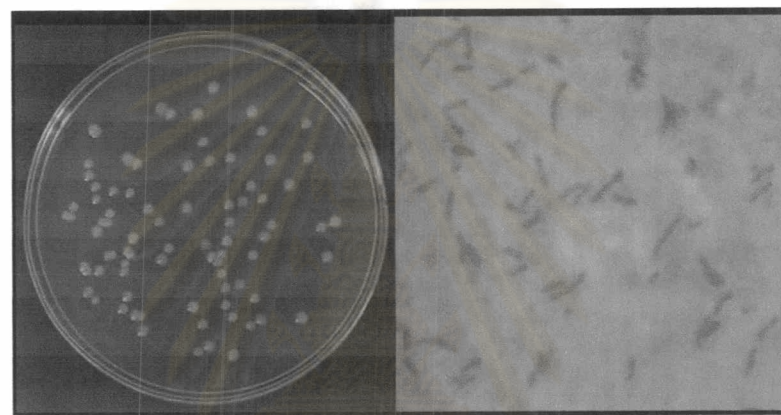
ตารางที่ 4.1 ลักษณะทางสัณฐานวิทยาของแบคทีเรียสายพันธุ์บริสุทธิ์

แบคทีเรียสายพันธุ์ บริสุทธิ์	ลักษณะที่ศึกษา	
	โคลนีน้ำอาหารเลี้ยงเชื้อแข็ง LB	รูปร่างเซลล์และการ ติดสีแกรม
STK-1	โคลนีกลมแบบ สีขาว ขอบเรียบ โปร่งแสง ตรงกลางทึบแสง ขนาดเส้น ผ่านศูนย์กลางประมาณ 3-5 มม.	แท่ง แกรมลบ
STK-2	โคลนีกลมแบบ สีเหลือง ขอบเรียบ โปร่งแสง ขนาด 3-5 มม.	แท่ง แกรมลบ
STK-3	โคลนีกลมแบบ สีขาว ขอบเรียบ โปร่งแสง ขนาดเส้นผ่านศูนย์กลาง ประมาณ 1-2 มม.	แท่งสั้น แกรมลบ

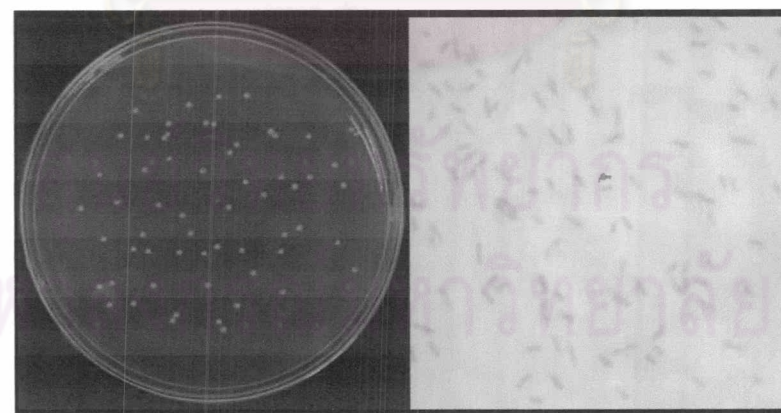
เมื่อได้แบคทีเรียสายพันธุ์บริสุทธิ์ทั้ง 3 สายพันธุ์ จึงนำแบคทีเรียดังกล่าวมาศึกษาลักษณะทางสรีรวิทยาและสมบัติทางชีวเคมี ซึ่งผลการจำแนกชนิดทางอนุกรรมวิธานแสดงไว้ดังตารางที่ 4.2



ก. แบคทีเรียสายพันธุ์ STK1



ข. แบคทีเรียสายพันธุ์ STK2



ค. แบคทีเรียสายพันธุ์ STK3

รูปที่ 4.5 ลักษณะโคลนีบนอาหารแข็ง LB และรูปร่างเซลล์ภายในตัวกล้องจุลทรรศน์ของแบคทีเรียสายพันธุ์ STK1 STK2 และ STK3 บ่มที่อุณหภูมิ  $30^{\circ}\text{C}$  เป็นเวลา 3 วัน

ตารางที่ 4.2 สมบัติทางเคมีร่วมของและปฏิกิริยาทางเคมีของแบคทีเรียปฏิกริยานี้แลกได้

แบบที่ใช้ปฏิกริยารักษา	การทดสอบปฏิกริยาตัวอย่าง	การทดสอบและการใช้น้ำตาล									
		STK-1	STK-2	STK-3	TSI	O-F	น้ำตาลจืด	น้ำตาลขี้วัว	น้ำตาลหิน	น้ำตาลหินสีเขียว	น้ำตาลหินสีขาว
พิษที่รับปฏิกริยารักษา	-	-	-	-	-/-	-/-	-	-	-	-	-
พิษที่ทดสอบ	+	+	+	+	K/NC	K/NC	-	-	-	-	-
น้ำตาลจืด	-	-	-	-	-/-	-/-	-	-	-	-	-
น้ำตาลขี้วัว	+	+	+	+	-/-	-/-	-	-	-	-	-
น้ำตาลหิน	+	+	+	+	-/-	-/-	-	-	-	-	-
น้ำตาลหินสีเขียว	-	-	-	-	-/-	-/-	-	-	-	-	-
น้ำตาลหินสีขาว	-	-	-	-	-/-	-/-	-	-	-	-	-
น้ำตาลหินสีฟ้า	-	-	-	-	-/-	-/-	-	-	-	-	-
น้ำตาลหินสีฟ้า O-F	-	-	-	-	-/-	-/-	-	-	-	-	-
น้ำตาลหินสีขาว O-F	-	-	-	-	-/-	-/-	-	-	-	-	-
น้ำตาลหินสีเขียว O-F	-	-	-	-	-/-	-/-	-	-	-	-	-
น้ำตาลหินสีฟ้า TSI	-	-	-	-	-/-	-/-	-	-	-	-	-
น้ำตาลหินสีขาว TSI	-	-	-	-	-/-	-/-	-	-	-	-	-
น้ำตาลหินสีเขียว TSI	-	-	-	-	-/-	-/-	-	-	-	-	-
น้ำตาลหินสีฟ้า STK	-	-	-	-	-/-	-/-	-	-	-	-	-
น้ำตาลหินสีขาว STK	-	-	-	-	-/-	-/-	-	-	-	-	-
น้ำตาลหินสีเขียว STK	-	-	-	-	-/-	-/-	-	-	-	-	-
น้ำตาลหินสีฟ้า STK-3	-	-	-	-	-/-	-/-	-	-	-	-	-
น้ำตาลหินสีขาว STK-3	-	-	-	-	-/-	-/-	-	-	-	-	-
น้ำตาลหินสีเขียว STK-3	-	-	-	-	-/-	-/-	-	-	-	-	-

#### หมายเหตุ

+ : การทดสอบให้ผลบวก ส่วนที่เกิดปฏิกิริยา

- : การทดสอบให้ผลลบ ไม่สร้างหรือไม่เกิดปฏิกิริยา

K (alkaline): เกิดสภาพเบส; NC (no change) คือไม่เกิดการเปลี่ยนแปลง

จากลักษณะทางสัณฐานวิทยาและลักษณะทางชีวเคมีดังแสดงไว้ในตารางที่ 4.1 และ 4.2 เมื่อเปรียบเทียบกับลักษณะที่ได้รายงานไว้ในหนังสือคู่มือ Bergey's Manual of systematic bacteriology (1994) พบร่วมกับลักษณะทางสัณฐานวิทยาและลักษณะทางชีวเคมีของ STK1 STK2 และ STK3 ที่ทดสอบได้นี้ มีความสัมพันธ์กับแบคทีเรียที่จัดอยู่ในสกุล *Zoogloea* sp., *Stenotrophomonas* sp. และ *Mesorhizobium* sp. ตามลำดับ

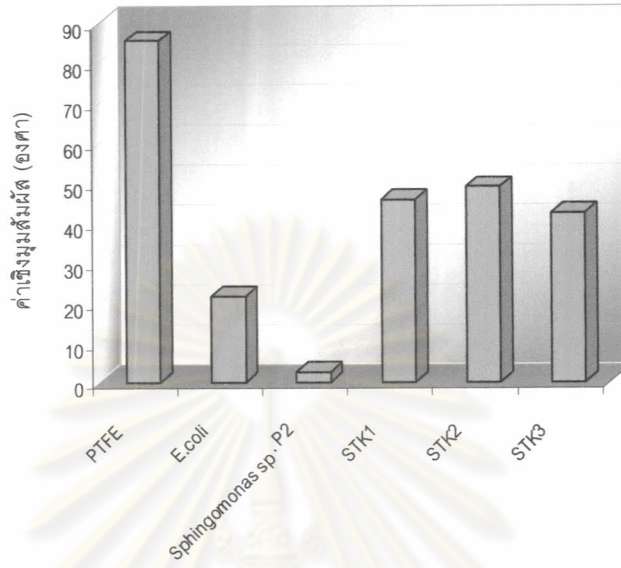
#### 4.3.2 การวิเคราะห์ลำดับนิวคลีอิโไทด์ 16 เอสไทรโบซีมอลดีเอ็นเอ (16S rDNA)

จากการนำสารละลายดีเอ็นเอที่เพิ่มจำนวนด้วยวิธีปฏิกิริยาลูกโซ่พอลิเมอร์เรส ขนาดประมาณ 1.5 กิโลเบตส์ไปวิเคราะห์หาลำดับนิวคลีอิโไทด์โดยหน่วยบริการชีวภาพและนำข้อมูลลำดับนิวคลีอิโไทด์ของ 16 เอสไทรโบซีมอลดีเอ็นเอของแบคทีเรียบริสุทธิ์ทั้ง 3 สายพันธุ์ที่ได้มาวิเคราะห์ด้วยโปรแกรม Bioedit แล้วจึงนำข้อมูลที่ได้นี้ไปเปรียบเทียบกับฐานข้อมูลที่มีอยู่ใน Gen Bank ด้วยโปรแกรม BLAST พบร่วมกับแบคทีเรียบริสุทธิ์ 3 สายพันธุ์มีลำดับนิวคลีอิโไทด์คล้ายคลึงกับแบคทีเรียที่จัดอยู่ในสกุล *Zoogloea ramigera* ATCC19623 (รูปที่ 1.1) *Stenotrophomonas maltophilia* สายพันธุ์ LMG10857 (รูปที่ 1.2) และ *Mesorhizobium* sp. Smarlab BioMol-2302657 (รูปที่ 1.3) ตามลำดับ โดยมีร้อยละของความคล้ายคลึง (%homology) ประมาณ 99% ดังนั้น จากผลการทดสอบทางสรีรวิทยาและชีวเคมีร่วมกับการวิเคราะห์ลำดับนิวคลีอิโไทด์ของ 16 s rDNA ทำให้สามารถยืนยันได้ว่าแบคทีเรีย STK1 STK2 และ STK3 เป็นแบคทีเรียที่จัดอยู่ในสกุล *Zoogloea* sp., *Stenotrophomonas* sp. และ *Mesorhizobium* sp. ตามลำดับ

#### 4.4. ศึกษาสมบัติไฮโดรโฟบิชิตี้ของแบคทีเรียบริสุทธิ์ที่แยกได้โดยการวิเคราะห์ hac่ามุนสัมผัส (contact angle measurement)

การแยกแบคทีเรียที่สามารถย่อyle สารละลายในรูปร่างเคลือบติดอยู่กับวัสดุดูดซับ PTFE ที่มีสมบัติไฮโดรโฟบิกสูงเนื่องจาก PTFE เป็นวัสดุพอลิเมอร์ของพอลิเตตระฟลูโอดีโอลิลีน เมื่อวิเคราะห์ hac่ามุนสัมผัสโดยเครื่องวัด hacा contact angle ที่วิทยาลัยปิโตรเลียมและปิโตรเคมี จุฬาลงกรณ์มหาวิทยาลัย พบร่วมกับ PTFE มี hac่ามุนสัมผัสเท่ากับ  $85.4 \pm 0.54$  องศา ในขณะที่แบคทีเรียที่แยกจากวิธีนี้คือ *Zoogloea* sp., *Stenotrophomonas* sp. และ *Mesorhizobium* sp. มี hac่ามุนสัมผัสเป็น  $45.5 \pm 9.96$ ,  $48.7 \pm 1.74$  และ  $42.3 \pm 2.68$  องศา ตามลำดับ จะเห็นได้ว่า แบคทีเรียทั้ง 3 ชนิดมีสมบัติไฮโดรโฟบิกสูง เมื่อเปรียบเทียบกับ *Escherichia coli* ( $21.5 \pm 3.21$  องศา) ซึ่งมี hac่าไม่เกล้าเคียงกับ *E.coli* 2627 ( $21.2 \pm 0.7$  องศา) ที่รายงานไว้โดย Absolom และคณะ

ในปี 1983 และ *Sphingomonas* sp. สายพันธุ์ P2 ( $2.5 \pm 0.77$  องศา) ซึ่งแยกโดยวิธี enrichment liquid culture สามารถย่อยสลายฟีเวนทรีนได้ (Supaka และคณะ, 2001) ดังรูปที่ 4.9



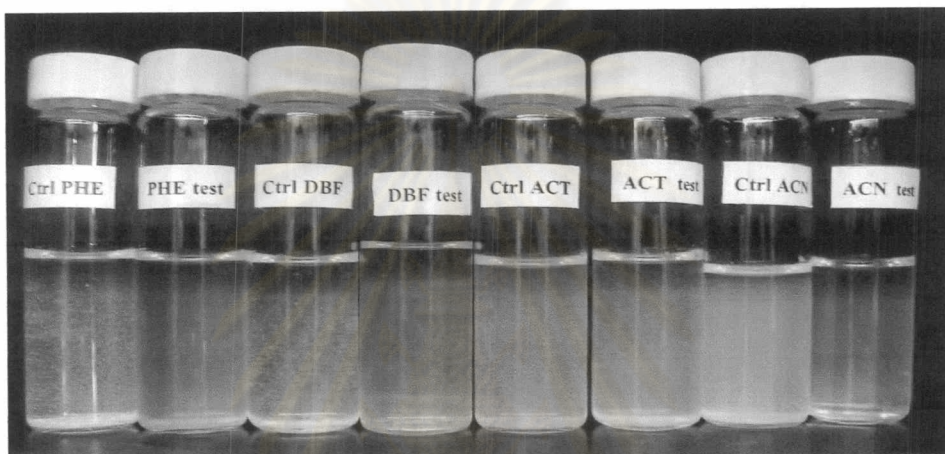
รูปที่ 4.9 ค่ามุ่สัมผัสของแบคทีเรียสายพันธุ์ต่างๆ

ด้วยสมบัติเฉพาะของผนังเซลล์แบคทีเรียนี้จึงส่งผลต่อประสิทธิภาพการเกะติดของแบคทีเรียกับผลึกของไฟรินหรือสาร PAHs อื่นๆ และการเพิ่มจำนวนแบคทีเรียบนแผ่น PTFE นั้น คือถ้าหากแบคทีเรียสามารถใช้สาร PAHs ที่เคลือบอยู่บนแผ่นวัสดุที่มีสมบัติไฮดรอฟิลิก อาจจะทำให้แบคทีเรียสายพันธุ์ที่ความสามารถในการเกะติดได้ง่ายขึ้น ซึ่งมีบทบาทสำคัญในการแยกให้ได้แบคทีเรียดังกล่าวที่อยู่บนวัสดุดังกล่าว (Bastiaens และคณะ, 2000)

#### 4.5 รูปแบบการเจริญและความสามารถของกลุ่มแบคทีเรีย STK ในการย่อยสลายสาร PAHs ชนิดอื่นๆ เป็นแหล่งคาร์บอนและแหล่งพลังงาน

โดยทั่วไปการปนเปื้อนของสาร PAHs ในสิ่งแวดล้อมมักเกิดจากการปนเปื้อนของสาร PAHs มากกว่า 1 ชนิด ดังนั้นทางผู้วิจัยจึงได้ศึกษาความจำเพาะในการใช้ PAHs ชนิดอื่นๆ ของกลุ่มแบคทีเรีย STK ซึ่งสาร PAHs ที่ใช้ศึกษามีทั้ง PAHs ที่มีน้ำหนักโมเลกุลต่ำ (ไดเบนโซฟิลีน อะซีแนพธีลีน พลูโอดรีน ฟีเวนทรีน และฟลูโอดรีนทีน) และ PAHs ที่มีน้ำหนักโมเลกุลสูง (ไครซีน เบนโซ[เอ]ไฟริน และเพอริลีน) โดยใช้ความเข้มข้น 100 มก.ต่อลิตร จากการศึกษาภายในระยะเวลา 21 วัน พบว่ากลุ่มแบคทีเรีย STK สามารถใช้ PAHs ชนิดอื่นได้โดยเฉพาะสาร PAHs ที่มีน้ำหนักโมเลกุลต่ำ ได้แก่ ฟีเวนทรีน ไดเบนโซฟิลีน อะซีแนพธีลีน

อะซีแนพธีน พลูออริน รวมทั้งสามารถย่ออยsslายเอนทราร์ชีนและได้เพียงเล็กน้อย โดยมีอัตราการย่ออยsslายสาร PAHs ที่แตกต่างกัน ดังสรุปไว้ในตารางที่ 4.4 แต่กลุ่มแบคทีเรีย STK ไม่สามารถย่ออยsslายฟลูออรินที่นิ่น (รูปที่ 4.11 ช) และสาร PAHs ที่มีน้ำหนักโมเลกุลสูงได้ รูปที่ 4.11 (ช.-ญ.) และพบว่าผลจากการย่ออยsslายสาร PAHs บางชนิดทำให้เกิดการเปลี่ยนแปลงสีของอาหารเลี้ยงเชื้อ ได้แก่ พีแนพธีนจะเปลี่ยนจากสีขาวขุ่นเป็นสีน้ำตาล และได้เป็นโซฟุแรนเปลี่ยนจากไม่มีสีเป็นสีเหลืองอ่อน และทำให้อาหารเลี้ยงเชื้อใสขึ้น ในขณะที่การย่ออยsslายอะซีแนพธีนและอะซีแนพธีลิน จะทำให้อาหารเลี้ยงเชื้อไม่ลักษณะใดไม่มีสีเกิดขึ้น รูปที่ 4.10



รูปที่ 4.10 ลักษณะอาหารเลี้ยงเชื้อเหลว CFMM ที่มีการย่ออยsslายสาร PAHs ชนิดต่างๆ โดยกลุ่มแบคทีเรีย STK เมื่อเปรียบเทียบกับชุดควบคุม (Ctrl; ชุดควบคุมปริมาณ PAHs โดยที่ PHE; พีแนพธีน, DBF; ไดเป็นโซฟุแรน, ACT; อะซีแนพธีลิน, ACN; อะซีแนพธีน, test; ชุดทดลองที่มี PAHs+กลุ่มแบคทีเรีย STK)

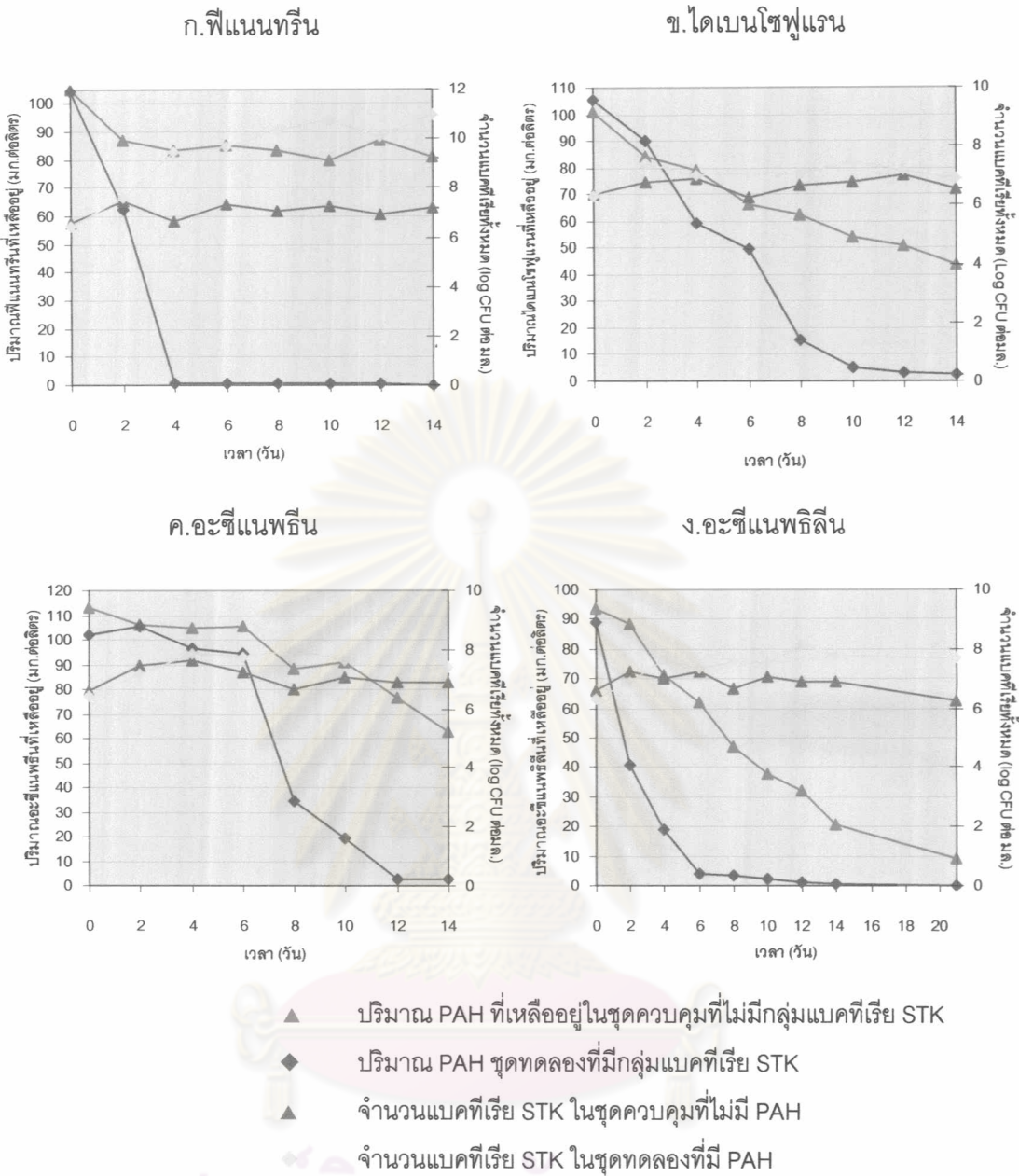
## ศูนย์วิทยบริการ จุฬาลงกรณ์มหาวิทยาลัย

ตารางที่ 4.3 การย่อよysลายไพรีนและสาร PAHs อีนๆ โดยกลุ่มแบคทีเรีย STK  
ในระยะเวลา 14 วัน

PAHs	จำนวนแบคทีเรียทั้งหมด (log CFU/ ต่อมล.)		ปริมาณ PAHs ที่ ลดลง (มก.ต่อลิตร)	อัตราการย่อよysลาย PAHs เฉลี่ย (มก.ต่อลิตรต่อวัน)
	เริ่มต้น	สุดท้าย		
ฟีเวนทรีน	6.64	10.48	99.72	19.5
ไพรีน	6.75	9.65	100	26.26
ไดเบนโซฟูเรน	6.33	7.15	97.28	7.5
อะซีแนพธีน	6.44	7.6	97.26	22.5
อะซีแนพธิลีน	6.33	7.69	99.66	21.14

จากการศึกษาพบว่ากลุ่มแบคทีเรีย STK สามารถย่อよysลายฟีเวนทรีน ไดเบนโซฟูเรน อะซีแนพธีน และอะซีแนพธิลีนได้ 99.72, 97.28, 97.26 และ 99.66 มก.ต่อลิตรภายในระยะเวลาที่ทำการทดลอง โดยพบว่าปริมาณฟีเวนทรีน ลดลงอย่างรวดเร็วในช่วงต้นของการทดลอง (รูปที่ 4.11-ก.) หลังจากวันที่ 4 อัตราเร็วการย่อよysลายในช่วง 4 วันแรกคิดเป็น 19.5 มก./ลิตร/วัน นอกจากนี้ ยังพบว่าการย่อよysลายฟีเวนทรีนช่วยส่งเสริมการเพิ่มจำนวนแบคทีเรียทั้งหมดโดยจะเพิ่มขึ้นจากเดิมถึง 4 log CFU/ ต่อมล. โดยไม่พบระยะปรับตัวของกลุ่มแบคทีเรีย ในขณะที่ไดเบนโซฟูเรน (รูปที่ 4.11-ข.) มีอัตราการย่อよysลายเฉลี่ย 7.5 มก./ลิตร/วัน ซึ่งคล้ายคลึงกับการย่อよysลายอะซีแนพธิลีนและจำนวนแบคทีเรียเพิ่มขึ้นจากจำนวนแบคทีเรียเริ่มต้นประมาณ 1 log CFU ต่อมล. ในขณะเดียวกันกลับพบว่าปริมาณอะซีแนพธิลีนในชุดควบคุมลดลงแต่มีอัตราเร็วการย่อよysลายที่ช้ากว่าชุดทดลองที่มีกลุ่มแบคทีเรีย STK (รูปที่ 4.11-ค.)

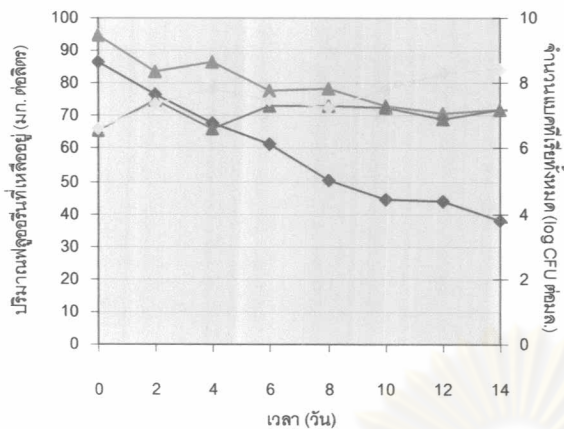
**จุฬาลงกรณ์มหาวิทยาลัย**



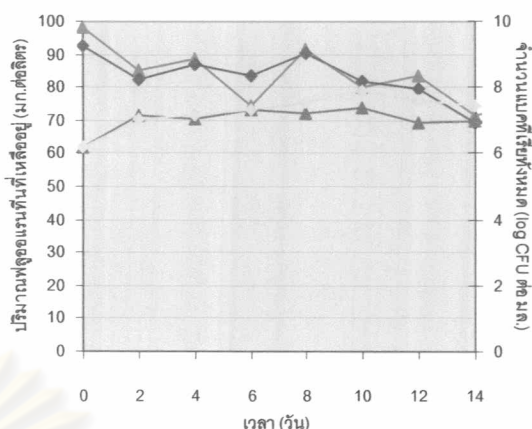
รูปที่ 4.11 การเจริญและปริมาณสาร PAHs อื่นๆ ที่เหลือจากการย่อยสลายโดยกลุ่มแบคทีเรีย STK

การย่อยสลายสาร PAHs บางชนิด โดยกลุ่มแบคทีเรีย STK เกิดขึ้นได้บางส่วนเท่านั้น ได้แก่ พลูออรีน และเอนทรานซ์ ไม่ย่อยสลายพลูอแรนทิน ซึ่งกลุ่มแบคทีเรีย STK สามารถย่อย พลูออรีนลดลงเหลือเพียง 37.79 มก.ต่อลิตร ในวันสุดท้ายของการทดลองและจำนวนแบคทีเรีย ทั้งหมดเพิ่มขึ้นจาก 6.63 log CFU ต่อ ml. ไปเป็น 8.63 log CFU ต่อ ml. สำหรับการย่อยสลาย เอนทรานซ์เกิดขึ้นเพียง 33.16 มก.ต่อลิตรเท่านั้น โดยพบว่ามีการเจริญของกลุ่มแบคทีเรียเพียงเล็กน้อย

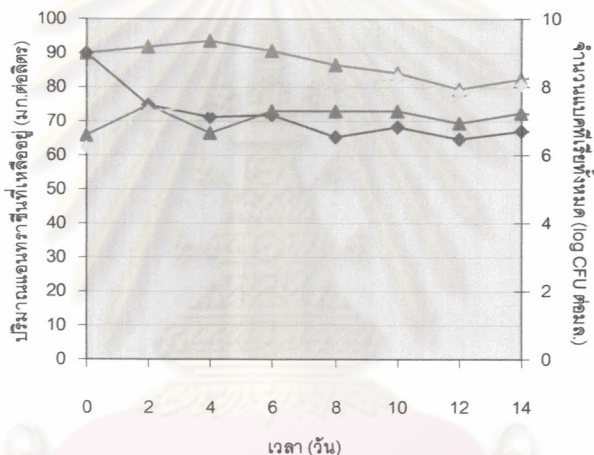
### ๑. พลูออร์วีน



### ๒. พลูอօเรนทีน



### ๓. แอนทรารีน

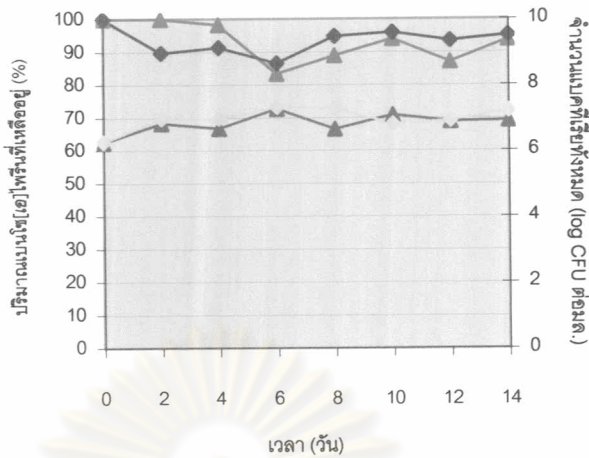


- ▲ ปริมาณ PAH ที่เหลืออยู่ในชุดควบคุมที่ไม่มีกลุ่มแบคทีเรีย STK
- ◆ ปริมาณ PAH ชุดทดลองที่มีกลุ่มแบคทีเรีย STK
- ▲ จำนวนแบคทีเรีย STK ในชุดควบคุมที่ไม่มี PAH
- ◆ จำนวนแบคทีเรีย STK ในชุดทดลองที่มี PAH

รูปที่ 4.11 (ต่อ) การเจริญและปริมาณสาร PAHs อื่นๆ ที่เหลือจากการย่อยสลายโดยกลุ่มแบคทีเรีย STK

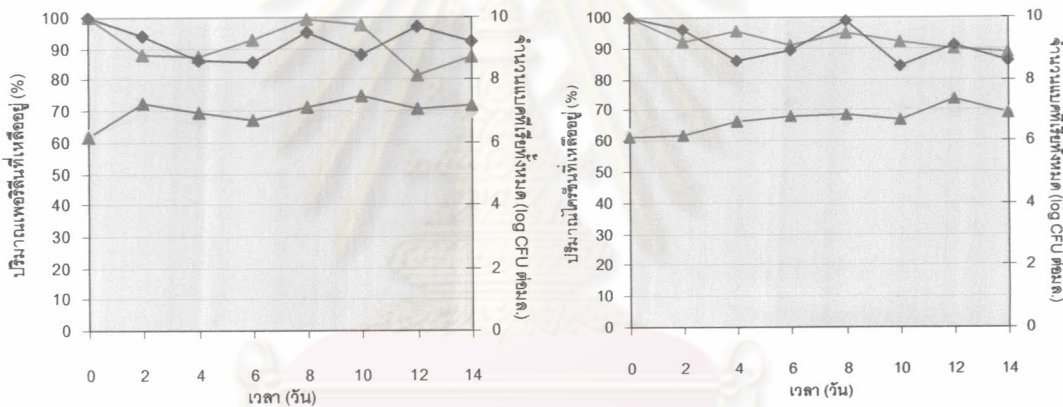
สำหรับการย่อยสลายสาร PAHs ที่มีน้ำหนักโมเลกุลสูงและมีโครงสร้างซับซ้อน พบว่า กลุ่มแบคทีเรีย STK ไม่สามารถย่อยสลายสาร PAHs ที่ทำการศึกษาได้ ได้แก่ เบโนโซ[เอ]ไฟริน (รูปที่ 4.11-๔) เพอริลีน (รูปที่ 4.11-๗) และไครซีน (รูปที่ 4.11-๘) อีกทั้งสาร PAHs ดังกล่าวยังไม่มีผลต่อการเพิ่มจำนวนของกลุ่มแบคทีเรียกลุ่มนี้อีกด้วย

### ๗. เปนโซ[เอ]ฟรีน



### ๘. เพอโรลีน

### ๙. ไครซิน



- ▲ ปริมาณ PAH ที่เหลืออยู่ในชุดควบคุมที่ไม่มีกลุ่มแบคทีเรีย STK
- ◆ ปริมาณ PAH ชุดทดลองที่มีกลุ่มแบคทีเรีย STK
- ▲ จำนวนแบคทีเรีย STK ในชุดควบคุมที่ไม่มี PAH
- จำนวนแบคทีเรีย STK ในชุดทดลองที่มี PAH

รูปที่ 4.11(ต่อ) การเจริญและปริมาณสาร PAHs อื่นๆ ที่เหลือจากการย้อมสลาย

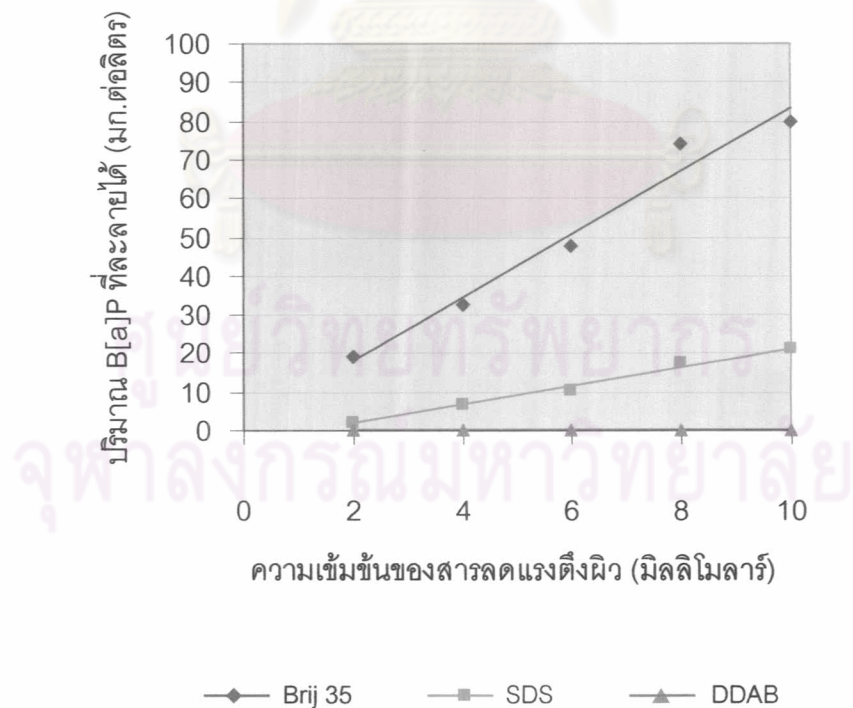
โดยกลุ่มแบคทีเรีย STK

## 4.6 การย่อยสลายเบนโซ[เอ]ไฟรินโดยการเติมสารลดแรงตึงผิว (surfactant) หรือน้ำมันดีเซล (diesel fuel)

### 4.6.1. การละลายของเบนโซ[เอ]ไฟรินเมื่อเติมสารลดแรงตึงผิวนิดต่างๆ

ในการศึกษานี้ผู้วิจัยได้ทดสอบการละลายของเบนโซ[เอ]ไฟรินในสารลดแรงตึงผิว 3 ชนิด ได้แก่ Brij35 SDS และ DDAB โดยเปรียบเทียบการละลายที่ความเข้มข้นของสารลดแรงตึงผิวต่างกันตั้งแต่ 2-10 มิลลิเมตร พบร่วมหาดจำเป็นต้องใช้เวลา 2 วัน การเติม Brij35 สามารถละลายเบนโซ[เอ]ไฟรินได้มากขึ้นเมื่อความเข้มข้นของ Brij35 เพิ่มขึ้น สำหรับการละลายของเบนโซ[เอ]ไฟรินเมื่อมี SDS นั้นจะละลายออกมากได้น้อยกว่า Brij35 หากพิจารณาความเข้มข้นของเบนโซ[เอ]ไฟรินที่ละลายออกมาก โดยใช้สารลดแรงตึงผิวทั้งสองชนิดที่ความเข้มข้น 0.2 มิลลิเมตร พบร่วมหาดจำเป็นต้องใช้เวลา 20 มิลลิกรัมต่อลิตรเท่านั้น ในทางตรงกันข้าม จะเห็นได้ว่าการเติม DDAB ลงในน้ำไม่ส่งผลต่อการละลายของเบนโซ[เอ]ไฟริน แม้ว่าความเข้มข้นที่ใช้นั้นจะเพิ่มขึ้นก็ตาม ดังรูปที่ 4.12

ดังนั้นในการศึกษาต่อไป ผู้วิจัยจะได้นำ Brij 35 มาศึกษาการย่อยสลายเบนโซ[เอ]ไฟรินโดยเปรียบเทียบกับการเติมน้ำมันดีเซล ซึ่งมีรายงานว่าสามารถกระตุ้นให้เกิดการย่อยสลายเบนโซ[เอ]ไฟรินได้ (Kanaly และคณะ, 2000)

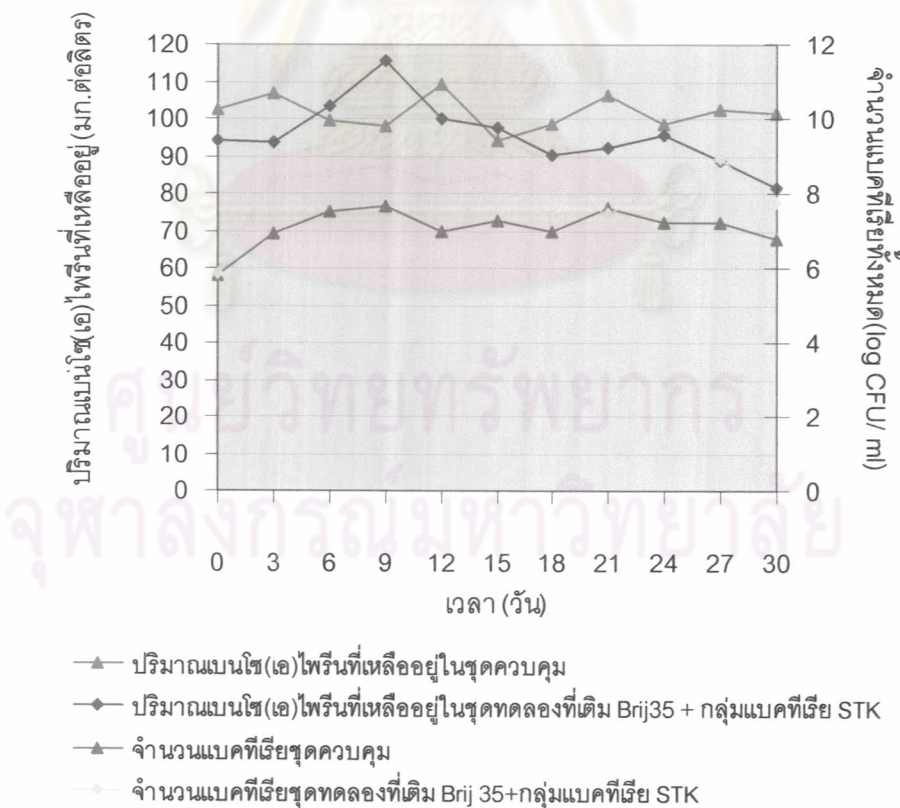


รูปที่ 4.12 การละลายของเบนโซ[เอ]ไฟรินเมื่อมีสารลดแรงตึงผิวแต่ละชนิดที่ความเข้มข้นต่างๆ

#### 4.6.2. ศึกษาการย่อยสลายเบนโซ[เอ]ไฟรินเมื่อมีการเติมสารลดแรงตึงผิวหรือน้ำมันดีเซล

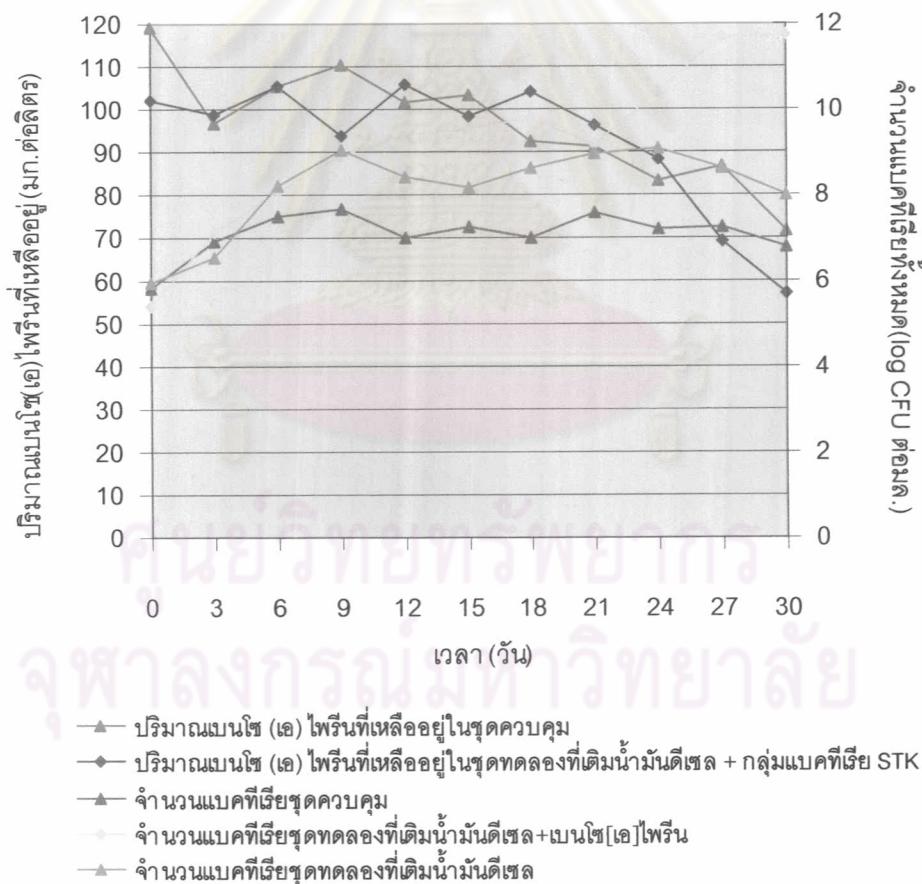
เนื่องจากเบนโซ[เอ]ไฟรินมีน้ำหนักโมเลกุลสูง กลุ่มแบคทีเรีย STK จึงไม่สามารถย่อยสลายเบนโซ[เอ]ไฟรินได้ ดังนั้นการเพิ่มประสิทธิภาพในการย่อยสลายเบนโซ[เอ]ไฟรินนอกจากการคัดแยกจุลทรรศน์ที่มีความสามารถและมีประสิทธิภาพแล้ว การเติมสารลดแรงตึงผิวน้ำมันดีเซล หรือสารอิมลซิไฟด์อื่นๆ ลงไป สามารถช่วยกระตุ้นให้เกิดการละลายของเบนโซ[เอ]ไฟริน ทำให้แบคทีเรียนำเบนโซ[เอ]ไฟรินไปใช้ได้ง่ายขึ้น

พิจารณาการย่อยสลายเบนโซ[เอ]ไฟริน โดยกลุ่มแบคทีเรีย STK เมื่อมีการเติม Brij35 ความเข้มข้น 0.2 มิลลิโมลาร์ ซึ่งความเข้มข้นที่ใช้จะสูงกว่าค่าความเข้มข้นปกติที่ทำให้เกิดในเซลล์ ประมาณ 2 เท่า โดยค่า CMC ของ Brij35 มีค่าเท่ากับ 0.1 มิลลิโมลาร์ (Tiehm, 1994) จากคุณปี 4.13 เห็นได้ว่ากลุ่มแบคทีเรีย STK สามารถเจริญเติบโตในช่วง 3 วันแรกโดยจำนวนแบคทีเรียทั้งหมดเพิ่มขึ้นจากเริ่มต้น  $5.86 \log \text{CFU}$  ต่อมล. เป็น  $8.36 \log \text{CFU}$  ต่อมล. ในวันที่ 3 หลังจากนั้นการเจริญของแบคทีเรียจะค่อยๆ คงที่ จนสิ้นสุดการทดลอง แต่พบว่าการเจริญของแบคทีเรียที่เกิดขึ้นนั้น ไม่ได้ส่งผลให้เกิดการย่อยสลายเบนโซ[เอ]ไฟริน เมื่อเปรียบเทียบกับชุดควบคุมที่ไม่มีการเติม Brij35

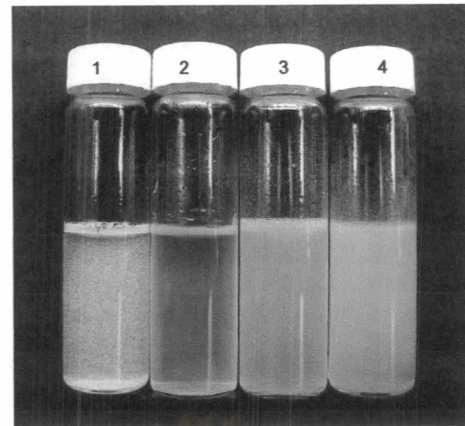


รูปที่ 4.13 การเจริญและการย่อยสลายเบนโซ[เอ]ไฟรินโดยกลุ่มแบคทีเรีย STK เมื่อมีการเติม Brij35 ลงในอาหารเลี้ยงเชื้อ CFMM

สำหรับการย่อยสลายเบนโซ[เอ]ไพริน เมื่อมีการเติมน้ำมันดีเซลปริมาณ 300 มิลลิลิตร โดยกลุ่มแบคทีเรีย STK (รูปที่ 4.14) พบร่วมกับการเจริญเติบโตของแบคทีเรียทั้งหมดเกิดขึ้นอย่างรวดเร็วและต่อเนื่อง โดยจำนวนแบคทีเรียทั้งหมดในตอนเริ่มต้นของการทดลองมีค่า  $5.43 \text{ log CFU}$  ต่อ มล. จากนั้นค่อยๆ เพิ่มขึ้นอย่างต่อเนื่องในช่วงเวลา 12 วันและในวันที่ 12 พบร่วมกับแบคทีเรียทั้งหมดประมาณ  $9.41 \text{ log CFU}$  ต่อ มล. เพิ่มขึ้นจากวันแรกถึง 4  $\text{log CFU}$  ต่อ มล. และจะค่อยๆ คงที่จนถึงวันที่ 21 จากนั้นจะเห็นได้ว่า จำนวนแบคทีเรียจะเพิ่มขึ้นอีกครั้งเป็น  $11.76 \text{ log CFU}$  ต่อ มล. จากการเพิ่มจำนวนของกลุ่มแบคทีเรียอย่างรวดเร็วนี้เอง จึงทำให้เกิดการย่อยสลายเบนโซ[เอ]ไพริน โดยพบว่าเบนโซ[เอ]ไพรินลดลงเพียงเล็กน้อยในระยะแรกของการทดลอง (10-15 มก.ต่อ ลิตร) จากนั้นการย่อยสลายเบนโซ[เอ]ไพรินจะเพิ่มขึ้นเรื่อยๆ จนกระทั่งสิ้นสุดการทดลองเบนโซ[เอ]ไพรินจะถูกย่อยสลายไป  $57.26 \text{ มก.ต่อ ลิตร}$  ซึ่งการเจริญเติบโตังก์ล่าวนั้นเป็นผลมาจากการที่แบคทีเรียถูกกระตุ้นให้เพิ่มจำนวนโดยนำน้ำมันดีเซล ซึ่งผลจากการย่อยสลายเบนโซ[เอ]ไพริน ทำให้สีของอาหารเลี้ยงเชื้อเข้มข้นและเปลี่ยนจากสีเหลืองอ่อนไปเป็นสีส้ม ดังรูปที่ 4.15



รูปที่ 4.14 การเจริญและปริมาณเบนโซ[เอ]ไพรินที่เหลือจากการย่อยสลายโดยกลุ่มแบคทีเรีย STK เมื่อเติมน้ำมันดีเซลลงในอาหารเลี้ยงเชื้อ CFMM



รูปที่ 4.15 ลักษณะอาหารเลี้ยงเชื้อที่เกิดการย่อยสลายเบนโซ[เอ]เพรินโดยกลุ่มแบคทีเรีย STK เมื่อมีน้ำมันดีเซลเป็นซับสเตรทร่วม; (1) ชุดควบคุมปริมาณเบนโซ[เอ]เพรินที่ไม่มีกลุ่มแบคทีเรีย (2) ชุดควบคุมกลุ่มแบคทีเรียที่มีน้ำมันดีเซล (3) ชุดควบคุมปริมาณเบนโซ[เอ]เพรินและน้ำมันดีเซล ที่ไม่มีกลุ่มแบคทีเรีย (4) ชุดทดลอง

**ศูนย์วิทยทรัพยากร  
จุฬาลงกรณ์มหาวิทยาลัย**